

- [11] *Грошенко Н.А., Прохоров А.М., Рандошкин В.В. и др. // ФТТ. 1985. Т. 27. Вып. 6. С. 1712-1717.*
- [12] *Грошенко Н.А., Рандошкин В.В., Шапошников А.Н., Ширков А.В. // ЖТФ. 1986. Т. 56. Вып. 5. С. 935-937.*
- [13] *Рандошкин В.В. // Радиоэлектроника за рубежом. М.: ИИЭИР, 1983. № 8. С. 1-34.*
- [14] *Рандошкин В.В., Старостин Ю.В. // Радиоэлектроника за рубежом. М.: ИИЭИР, 1982. № 18. С. 1-57.*
- [15] *Рандошкин В.В., Чани В.И., Козлов В.И. // ФТТ. 1991. Т. 33. Вып. 3. С. 957-959.*
- [16] *Рандошкин В.В. // Препринт ИОФАН. 1989. № 23. 21 с.*
- [17] *Логунов М.В., Рандошкин В.В. // ЖТФ. 1988. Т. 58. Вып. 6. С. 1237-1238.*

## ОБ ИЗМЕРЕНИИ ПРОДОЛЬНОЙ ПРОВОДИМОСТИ СЛОИСТЫХ ПРОВОДНИКОВ

*Л.И.Буравов*

Институт химической физики, 142432, Черноголовка, Московская область  
(Поступило в Редакцию 2 ноября 1993 г.)

Как известно, ряд органических сверхпроводников на основе бис-(этилендитиоло)тетратиофульвалена (сокращенно *ET*), а также кристаллы ВТСП являются квазидвумерными проводниками с высокой анизотропией проводимости в нормальном состоянии. При измерениях продольной проводимости таких кристаллов часто пользуются упрощенным методом монтажа контактов, когда все 4 контакта подклеиваются на одну грань кристалла (плоскость  $xz$ ), как показано на рисунке, *а*. Предполагается, что удельные сопротивления  $\rho_x, \rho_z \ll \rho_y$ . При этом вследствие высокой анизотропии проводимости значительная часть измерительного тока протекает вблизи поверхности грани  $xz$ , что может приводить к завышенным результатам измерений кажущейся величины продольного удельного сопротивления  $\rho_{x, \text{каж}}$ , так что  $\rho_{x, \text{каж}} = A \cdot \rho_x$ , где коэффициент  $A > 1$ ,  $\rho_x$  — истинное удельное сопротивление.

В настоящей работе коэффициент  $A$  был вычислен на основе результатов работы [1] с помощью конформного преобразования, упрощающего геометрию задачи. Предполагалось, что образец имеет форму прямоугольного бруска, ориентированного по главным осям тензора проводимости; в этом случае при пропускании тока через контакты 1, 4 или 2, 3 распределение тока и потенциала в образце не зависит от координаты  $z$ , поэтому при анализе задачи может быть использован метод конформного преобразования.

Для того чтобы использовать конформное преобразование в данной задаче, следует сначала перейти к эквивалентной изотропной модели, для которой сопротивление объема  $dx dy dz$  в направлении осей  $x$  или  $y$  равно сопротивлению объема  $dx' dy' dz'$  в анизотропном образце в том же направлении.

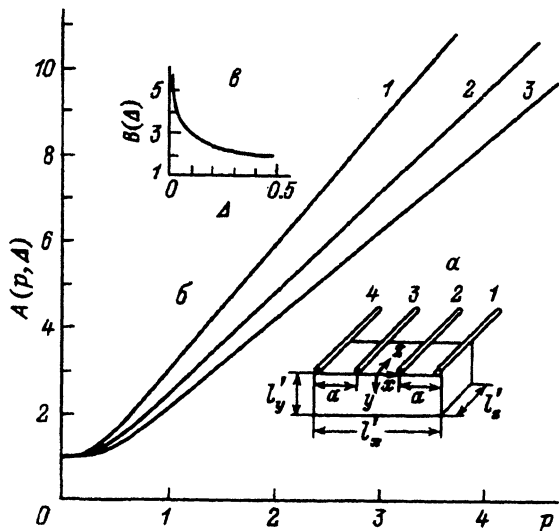


Схема расположения контактов на образце.

(а), зависимость  $A(p, \Delta)$  от  $p = (l'_y/l'_x) \sqrt{\rho_y/\rho_x}$  с параметром  $\Delta$  (1 — 0.10, 2 — 0.20, 3 — 0.35) (б) и зависимость  $B(\Delta)$  от  $\Delta$  (в).

Для данного случая это условие приводит к равенствам

$$\rho_x = \rho l'_x l'_y / l_y l'_x, \quad \rho_y = \rho l_y l'_x / l_x l'_y \quad (1)$$

и как следствие, к известным формулам Монтгомери [2]

$$\rho_y/\rho_x = (l_y l'_x / l_x l'_y)^2 \quad (2)$$

и

$$\rho = \sqrt{\rho_x \rho_y}, \quad (3)$$

где  $\rho_x$  и  $\rho_y$  — продольное и поперечное удельное сопротивление;  $l'_x$  и  $l'_y$  — размеры анизотропного образца в направлении  $x$  и  $y$ ;  $l_x$ ,  $l_y$  и  $\rho$  — размеры и удельное сопротивление для эквивалентной изотропной модели.

Не нарушая эквивалентности двух моделей, полагаем, что ширина изотропного бруска  $l_x$  равна ширине анизотропного.

Для упрощения геометрии задачи было использовано конформное преобразование прямоугольника в полуплоскость с помощью эллиптической функции  $W = sn(u)$  [3-5] (в данном случае таким прямоугольником является любое сечение бруска, перпендикулярное проводам 1-4)

$$W = \xi + i\eta = sn\left(2K \cdot x/l_x + iK' \cdot y/l_y\right),$$

где  $K = \pi(1 + 2q + 2q^4 + 2q^9 + \dots)/2$ ,  $K' = 2K \cdot l_y/l_x$ ,  $q = \exp(-2\pi l_y/l_x)$ , начало координат взято на середине одного из ребер бруска (см. рисунок, а).

Как известно [3-5], при таком преобразовании граница прямоугольника отображается на ось  $\xi$ , внутренняя часть прямоугольника — на верхнюю полуплоскость  $(\xi, \eta)$ . Предположим, что токовые контакты 1

и 4 располагаются на концах образца, потенциальные контакты 2 и 3 — на расстоянии  $a$  от концов образца; в этом случае точки 1-4 переходят на ось  $\xi$  в точки  $\xi_1 = snK = 1$ ,  $\xi_2 = sn[K(1-2\Delta)]$ ,  $\xi_3 = -sn[K(1-2\Delta)]$ ,  $\xi_4 = -snK = -1$ , где  $\Delta = a/l'_x$ ; расположение точек следующее:  $\xi_4 < \xi_3 < 0 < \xi_2 < \xi_1$ .

На основании результатов [1,6] потенциалы точек 2 и 3 могут быть найдены по формуле

$$\varphi(\xi, \eta) = -(J\rho/\pi l_z) \ln(r_1/r_2), \quad (4)$$

где  $r_1$  и  $r_2$  — расстояния в плоскости  $(\xi, \eta)$  от точки наблюдения до центров токовых проводов,  $J$  — величина тока через контакты 1,4.

С учетом выражений (4) и (3) находим, что напряжение между контактами 2 и 3 равно:

$$U_{23} = \varphi(2) - \varphi(3) = \frac{-2}{\pi l_z} J\rho_x \sqrt{\frac{\rho_y}{\rho_x}} \ln \left( \frac{1 - sn[K(1-2\delta)]}{1 + sn[K(1-2\Delta)]} \right). \quad (5)$$

Приравнивая выражение  $J\rho_x \text{каж}'_x(1-2\Delta)/l'_y l_z$  величине  $U_{23}$ , найдем, что искомым коэффициент  $A$  является функцией величин  $p = (l'_y/l'_x) \sqrt{\rho_y/\rho_x}$  и  $\Delta$

$$A = A(p, \Delta) = \frac{-2}{\pi(1-2\Delta)} p \ln \left( \frac{1 - sn[K(1-2\delta)]}{1 + sn[K(1-2\Delta)]} \right). \quad (6)$$

При вычислениях величины  $A$  при  $p > 0.8$  можно использовать приближение  $sn[K(1-2\Delta)] \cong \sin[\pi(1-2\Delta)/2]$  [3,4]. Для  $p < 0.8$  при построении графиков были использованы таблицы [7].

На рисунке,б представлена зависимость коэффициента  $A$  от величины  $p$  с  $\Delta$  в качестве параметра. При достаточно высокой анизотропии удельного сопротивления (при  $p > 1$ ) коэффициент  $A$  может быть представлен в виде прямолинейной зависимости:  $A = B(\Delta)p$ , где величина  $B(\Delta)$  возрастает от 2 для  $\Delta = 0.35-0.5$  до 5.4 для  $\Delta = 0.01$  (вставка в) на рисунке. С уменьшением толщины образца (при  $l_y \rightarrow 0$ ), как и следует ожидать,  $A \rightarrow 1$ . При достаточно высокой анизотропии удельного сопротивления, например при  $p = 10$ , поправочный коэффициент может составлять  $\cong 20$ .

Как видно из рисунка,б, для изученной схемы монтажа ошибка измерений не превысит 2 раза, если берется достаточно тонкий образец, так что  $(l'_y/l'_x) \sqrt{\rho_y/\rho_x} < 0.6$ .

Проводник	$\rho_y/\rho_x$	$p$	$A$
YBa <sub>2</sub> Cu <sub>3</sub> O <sub>6+δ</sub>	100 [8]	0.5	1.2-1.4
ET <sub>2</sub> I <sub>3</sub>	400 [9]	1	2-2.5
ET <sub>2</sub> Cu[N(CN) <sub>2</sub> ]Br	3000 [10]	2.5	5-6
ET <sub>2</sub> Cu(NCS) <sub>2</sub>	3000-7000 [11]	3.5	7-8

Если токовые контакты смещены от концов образца, то коэффициент  $A$  несколько увеличится. Расчет показывает, что увеличение  $A$  не превышает 8%, если это смещение менее  $0.3a$ .

Из результатов работы следует, что при данной геометрии контактов ток эффективно протекает в слое толщины  $(l'_y/A) < l'_y$  вблизи плоскости  $(xz)$ . Следует отметить, что если величина поперечного удельного сопротивления  $\rho_y$  зависит от дополнительного электрического или магнитного поля, то, как видно из выражения (5), продольное напряжение  $U_{23}$  будет также функцией этого поля.

Оценим возможные ошибки измерений сопротивления в рассматриваемой схеме для различных слоистых проводников, предполагая, что толщина образцов  $l'_y = 0.05$  мм и полная длина  $l'_x = 1$  мм. Результаты оценки приведены в таблице. Как видно, для кристаллов  $\text{YBa}_2\text{Cu}_3\text{O}_{6+\delta}$ , имеющих отношение  $\rho_y/\rho_x \cong 100$  [8], ошибка измерений могла бы быть сравнительно невелика 20–40%, для других органических проводников, имеющих более высокую анизотропию проводимости [9–11], ошибка оказывается более высокой (5–8 раз). С увеличением толщины кристаллов ошибка соответственно увеличивается.

#### Список литературы

- [1] Буравов Л.И. // ЖТФ. 1989. Т. 59. Вып. 1. С. 138–142.
- [2] Montgomery H.C. // J. Appl. Phys. 1971. Vol. 42. N 7. P. 2971–2974.
- [3] Журавский А.М. // Справочник по эллиптическим функциям. М., Л.: Изд-во АН СССР, 1941. 235 с.
- [4] Ахиезер Н.И. // Элементы теории эллиптических функций. М.: Наука, 1970. 304 с.
- [5] Лаурентьев М.А., Шабат Б.В. // Методы теории функций комплексного переменного. М., 1958. 678 с.
- [6] Гольдштейн Л.Д., Зернов Н.В. // Электромагнитные поля и волны. М.: Сов. радио, 1956. 639 с.
- [7] Шулер М., Гебелейн Х. // Таблицы эллиптических функций. М., 1961. 250 с.
- [8] Буравов Л.И., Винников Л.Я., Емельченко Г.А. и др. // Письма в ЖЭТФ. 1988. Т. 47. Вып. 1. С. 50–52.
- [9] Буравов Л.И., Карцовник М.В., Кононович П.А. и др. // ЖЭТФ. 1986. Т. 91. Вып. 6. С. 2198–2203.
- [10] Buravov L.I., Kusch N.D., Merzhanov V.A. et. al. // J. Phys. 1. France, 1992. Vol. 2. P. 1257–1262.
- [11] Буравов Л.И., Зварыкина А.В., Куц Н.Д. и др. // ЖЭТФ. 1989. Т. 95. Вып. 1. С. 322–327.